

疲勞荷重에 의한 균열 傳播變動에  
미치는 過負荷의 영향에 관한 研究

An Investigation of the Effect of the  
Overload on the Fatigue Crack Propagation.



지도교수 金永植

金克洙

## 目 次

1. 序 論
2. 實 驗 方 法
  - 2.1 試 驗 材 料 及 試 驗 片
  - 2.2 實 驗 裝 置 及 實 驗 方 法
3. 實 驗 結 果 及 考 察
  - 3.1 모서리 균열의 傳 播 特 性
  - 3.2 모서리 균열의 形 狀 變 化
  - 3.3 모서리 균열의 過 負 荷 에 依 한  
減 速 效 果 (Retardation effect) 의 모형화
4. 結 論

# 1 序論

船舶, 항공기, 교량 등의 大型構造物 및 各動機機件 또는 壓力容器 등의 安全性 確保를 위한 說明에 對해서 가장 重要한 問題로 이들 構造物의 疲勞破壞를 如何히 防止하는 問題라 할 수 있다.

이러한 問題를 해결하기 爲해서는, 構造物 部材 内部에 存在하는 空孔 (Void) 介在物 (Inclusion) 등의 材料 자체의 各種欠陥, 趾頭균열 (Toe Crack), 가로균열, 세로균열, 라멜라 테어 (Lamellar tear) 등의 熔接時 수반되는 熔接균열, 構造物의 形上 不連續部 등의 应力集中部를 起點으로 發生傳播하는 疲勞균열의 發生機構가 解明 되어야 하며, 이를 기초로 構造物의 使用수명 예측이 可能해져야 할 것이다.

이러한 疲勞균열 중 引長에 의한 貫通균열은 지금까지 많은 研究가 行하여져 왔으나 平面荷重에 의한 表面균열에 대해서는 充分히 밝혀져 있지 않다.

平面荷重 反復荷重에 의한 表面균열은 降伏點 (yield point) 보다 낮은 使用條件下에서도, 構造物의 各種欠陥 등의 应力集中部를 起點 爲한 균열이 發生傳播하여 臨界長  $l_{crit}$  (Critical crack length) 까지 이르게 되면, 그 후 全體的 構造物 全體의 破斷을 초래하게 된다. 疲勞균열에는 Fig. 1과 같이 引長, 壓縮荷重에 의한 構造物 部材의 破斷을 貫通하면서 傳播하는 貫通균열과 曲률反復荷중에 의한 表面균열로 대별되고.

또 표면 균열은 半圓形균열 (Semi circular crack), 半橢圓形 (Semi elliptical) 四分圓形 (quarter circular), 四分橢圓 (quarter elliptical) 등으로 細分된다.

특히 四分圓形 四分橢圓形 균열을 모서리균열 (corner crack)이라고 하며, 이러한 모서리 균열은 균열의 傳播함에 따라 形狀變化가 현저하게 나타난다.

實際 構造物에 加해지는 反復荷重 荷重은 일정하지 않고, 荷重 크기의 변화가 아주 심한 것이 사실이다

그러나 지금까지는 일정크기의 反復荷重에 의한 疲労균열 傳播特性에 대해서는 많은 研究報告가 있으나 자주 變換하는 荷重크기에 의한 균열 傳播特性에 대해서는 잘 알려져 있지 않다.

本 研究은 最近 小形 高速 船舶의 外板材料로 많이 使用하는 5086-H116 알루미늄 합금재에서의 모서리 균열이 傳播함에 따라 變化하는 減速效果 (Retardation effect)를 檢討함과 아울러 過負荷에 의한 減速效果 (Retardation effect)를 說明하 리기 위한 目的으로 行하였다

## 2 實驗方法

### 2-1 實驗材料 및 實驗片

本 實驗에 使用한 試驗材는 5086-H116 알루미늄 合金材의 化學的 成分 및 機械的 特性은 Table 1에 나타내주고 있다.

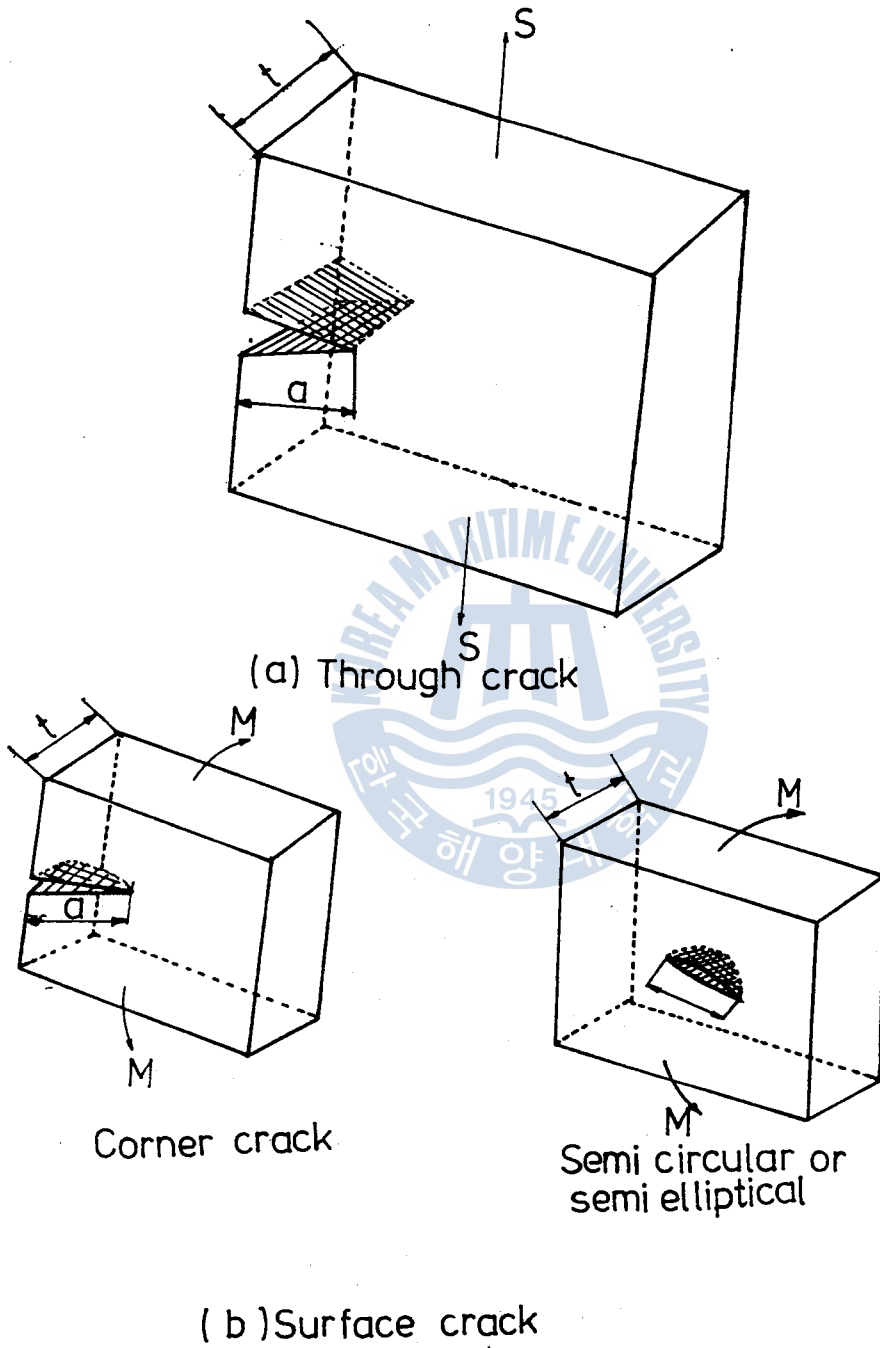


Fig. 1. Fatigue crack

試驗片은 壓進方向을 같이方向의 一致하여. Fig.2 와 같은 3부로 槓槓加工을 2회의 行程을 하고 #2000 미지의 사포 (Sand Paper) 로 2번의 研磨加工 하였다

노치 (Notch)는 片別貫通노치 (edged through notch)로 0.2mm 直徑의 削刀 (Skotching Cutter)를 利用하여 磨盤 머신 (Milling machine) 에서 槓槓加工 하였다.

## 2-2. 實驗裝置 및 實驗方法.

實驗에 사용한 試驗槓槓는 本 研究室에서 考案 製作한 片心 輪式 定變化 平面 荷重 疲勞 試驗槓槓로서 이것의 概略圖는 Fig.3에, 外觀은 Photo 1에 보인다.

板狀 試驗片의 一端은 덮개 (Cover)를 하여 固定봉으로 固定하고 自由端은 片心輪의 回轉에 의하여 反復的으로 平面荷重을 받기 하였다. 이 片心輪의 外圍에는 滑베어링을 끼워서 試驗片과의 사이에 磨擦을 防止 4 있도록 하였다 試驗片은 同時에 3個까지 걸 수 있도록 하였다.

그리고, 片心輪의 片心量 및 固定端과 荷重點과의 길이 (Fig.2의 L<sub>1</sub>) 또는 固定端과 노치 (Notch)와의 길이 (Fig.2의 L<sub>2</sub>)를 變化시켜 応力を 미세하게 調節할 수 있도록 하였다.

荷重 反復의 回數測定에는 펄스 (pulse)식 센서 (Sensor)와 電子積算 回轉計 (Digital integratory counter)를 利用한 回轉數 測定器 (Counter Unit)를 製作하여, 10<sup>8</sup>회까지 精密하게 測定 하였다. 磨蝕 성장 길이 (Crock Growth length)는 一定한 反復 荷重

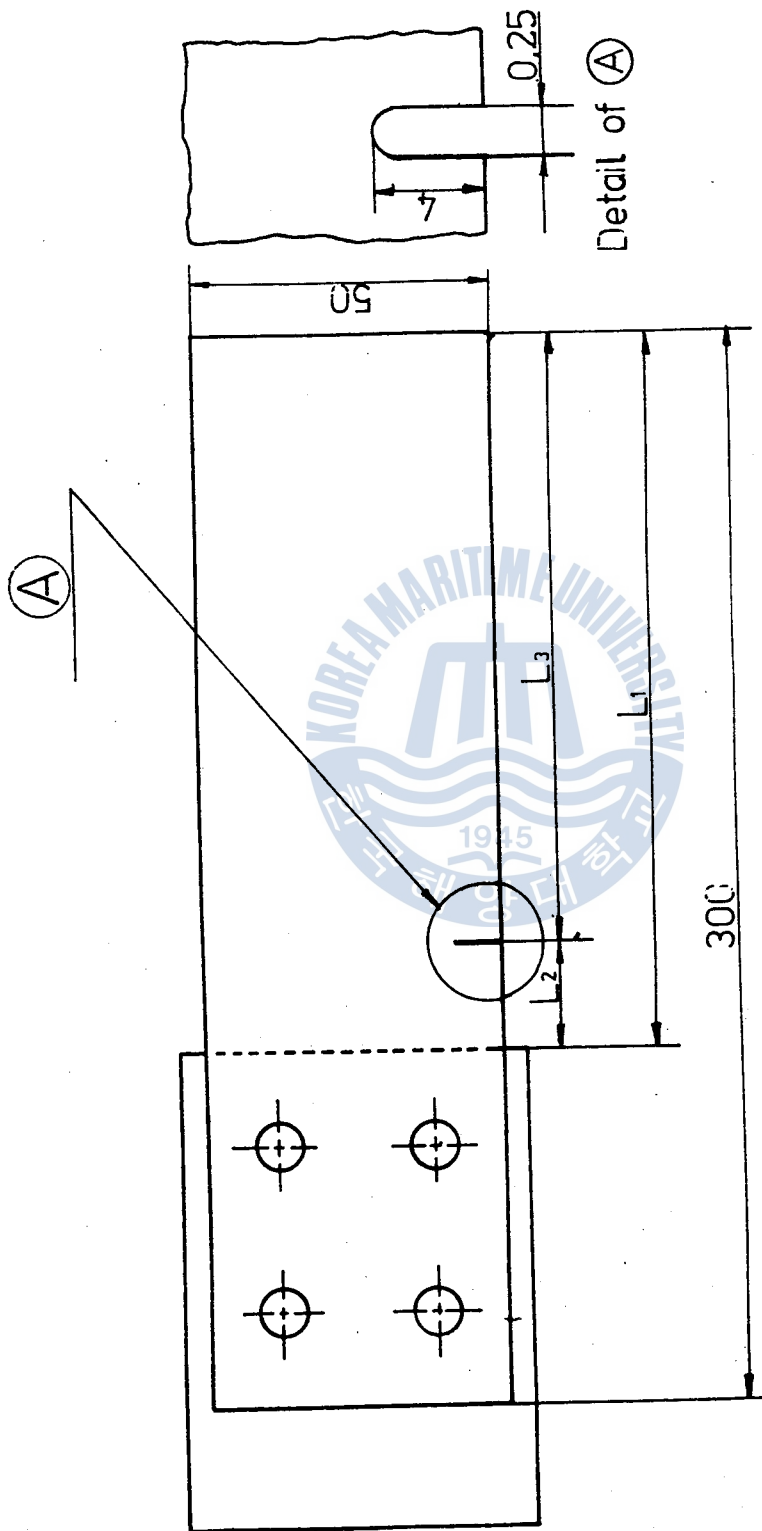


Fig. 2 Configuration and dimension of specimens

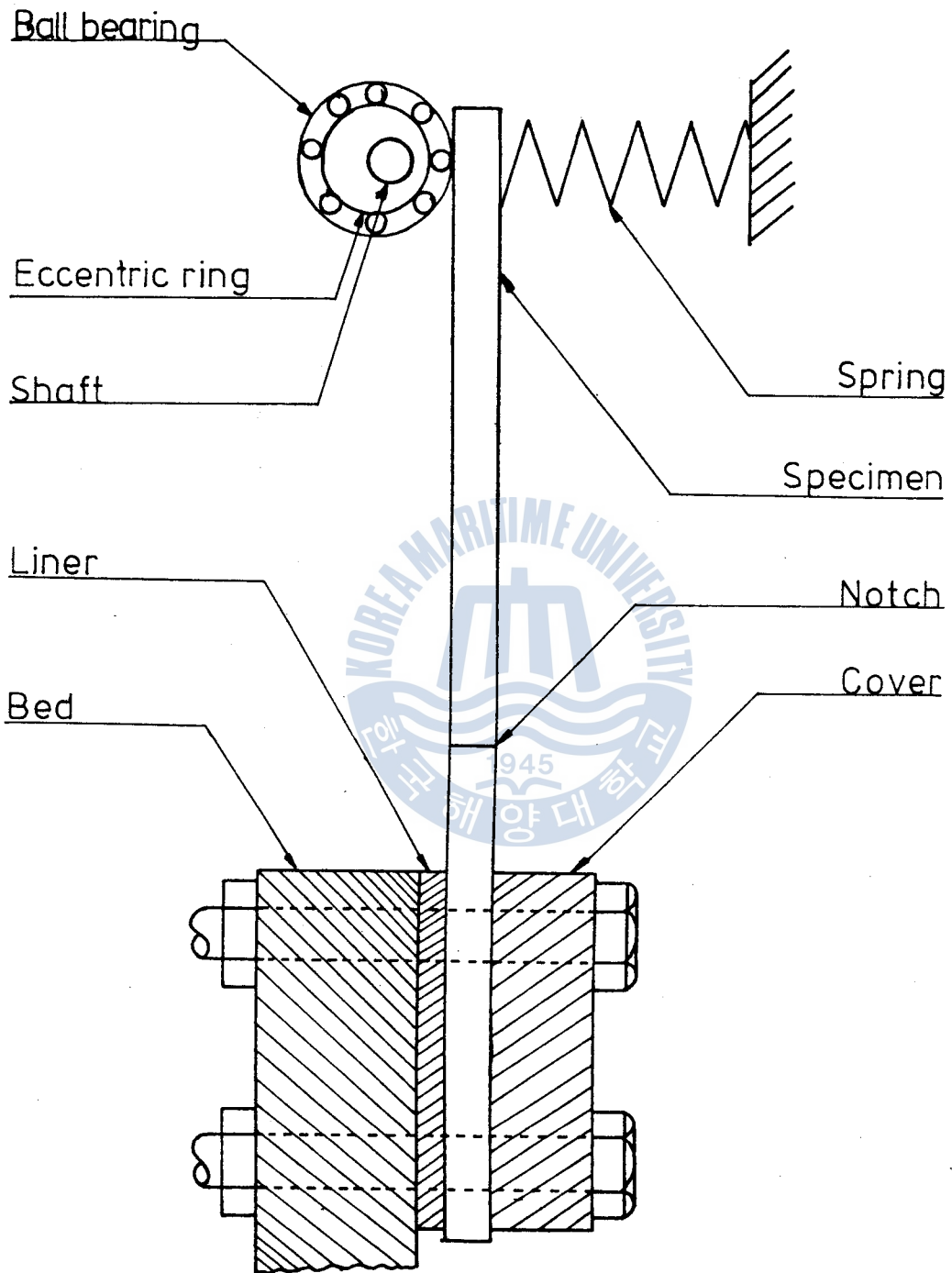
Table 1. Chemical composition and mechanical properties of materials

Material	Chemical compositions (wt%)							Mechanical properties			
	Mn	Cr	Cu	Mg	Si	Ti	Fe	Al	T.S kg/mm <sup>2</sup>	Y.S kg/mm <sup>2</sup>	El. %
5086 - H116 Al-Alloy	0.36	0.132	0.02	3.7	0.05	0.015	0.27	Res.	42	30	12

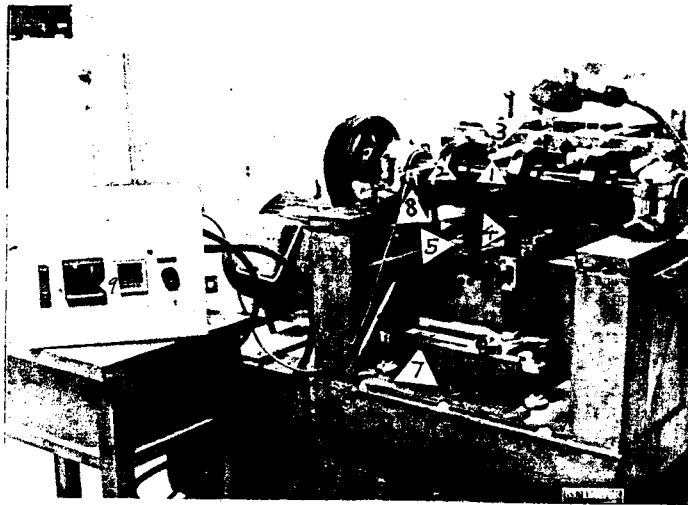
이 재료는 移送顯微鏡 (Travelling Microscope)을 이용하여  
0.01mm 미터測定하였다.

실제에 사용된 應力の 形態는 Fig.4 와 Fig.5에 表示된 比외에  
應力比 R=0.01 片振亦이되. 反復荷重의 速度는 600rpm로 하였다.  
이러나 Fig.5는 2段의 片振平面荷重 應力形態이되 이의間은 應力形態을  
利用하여 石破面에 비이치마크 (Beach mark)를 地을이, 此外의 應力의  
形狀變化는 連續的으로, 荷重變化에, 또한 이의 過負荷 (Over Load)의





Schematic diagram of the bending fatigue tester



- 1. Eccentric Ring
- 2. Ball Bearing
- 3. Spring
- 4. Specimen
- 5. Cover
- 6. Bed
- 7. Travelling or Reading Microscope
- 8. Sensor
- 9. Counter unit

Photo 1. General view of the bending fatigue tester

영향을 檢討 하였다

그리고 反復 荷重 応力은 다음과 같이 求하였다

$$S = \frac{3E\delta t^3}{2L_1^3} \times \frac{L_1}{L_1} \dots (1)$$

여기서 E : 彈性係數 (Young's modulus 2200 kg/cm<sup>2</sup>)

t : 시험편 두께 (mm)

δ : 片心量 (mm)

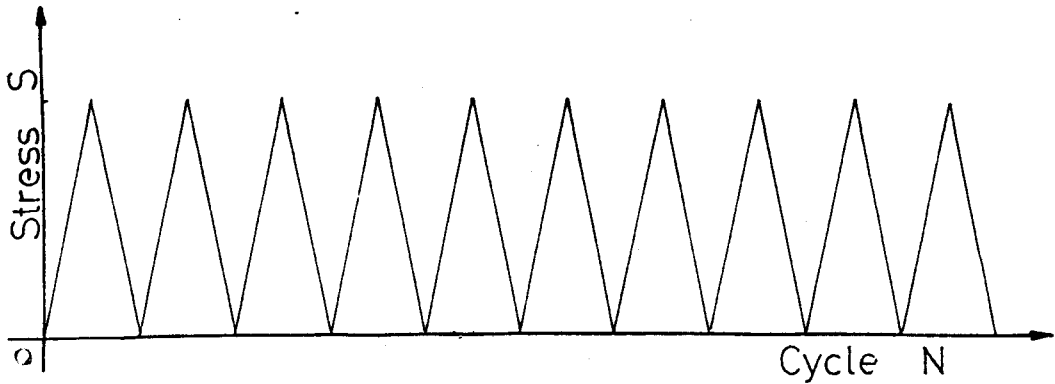


Fig.4 Stress pattern for measurement of crack propagation rate in fatigue test

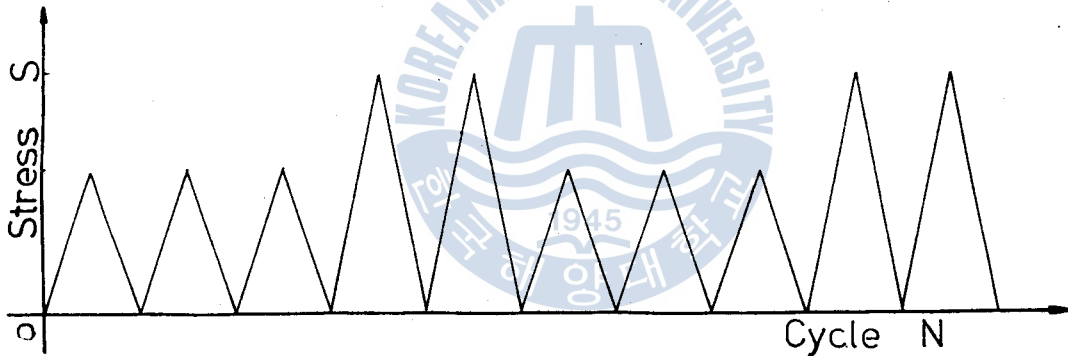


Fig.5 Stress pattern for observation of fracture surface in fatigue test

### 3 實驗結果 및 考擦

#### 3-1 모서리 결의 伝播特性.

Fig.6은 疲勞결의 棧構를 보여 위한 그림이다

最初에 疲勞결의 先端의 应力集中部를 起點으로 하여 最大 剪断应力

方向을 따라 슬립(slip)이 일어난다 (1.2段)

이 슬립 때문에 균열은 開口 (Opening) 되어 成長하면서 또, 다른 슬립면 (Slip plane) 이 나타난다 (3段).

加工硬化 (Work hardening) 와 应力增加로 또 다른 슬립면을 일으키면서 균열 先端 (Crack tip) 이 무디지 (Blunting) 된다 (4段).

塑性变形 (Plastic deformation) 은 균열 先端 (Crack tip) 주위에 形成되어 引張性領域 (Compressed plastic deformation) 이 形成된다 이 結果, Fig. 5의 5段에서 보이는 바와 같이 균열 先端이 닫혀 (Closing) 지면서, 날카롭게 (Sharpening) 된다

균열의 開口 (Opening or blunting) 와 閉口 (Closing or Sharpening) 의 反復으로 毎回마다 典型的인 리플 (ripple) 樣樣 (Pattern) 으로 스트라이에이션 (Striation) 이 形成된다

一般적으로 疲勞균열의 傳播特性은 균열길이 傳播速度 (Crack-length propagation rate)  $da/dn$  와 应力強度係數範圍 (Stress-intensity factor range) 와의 관계에 의하여 評價된다

Fig. 7은 本實驗에서 取한 알루미늄 合金材에 대해  $da/dn$  와  $\Delta K$ 의 關係를 兩對數座標에 表示한 것이다

여기서, 应力強度係數  $\Delta K$ 는 Kawahara가 題示한 式(7)을 인용하였다 이 그림에 의하면,  $\Delta K$ 가 增加함에 따라, 즉 균열길이 증가함에 따라 균열전파속도가 빨라짐을 보여 주고 있다

$$\Delta K = \frac{1}{2} \Delta S_b \sqrt{\pi a}$$

여기서  $\Delta S_b$  : 引張 反復荷重  
 $a$  : 균열 길이 (2)

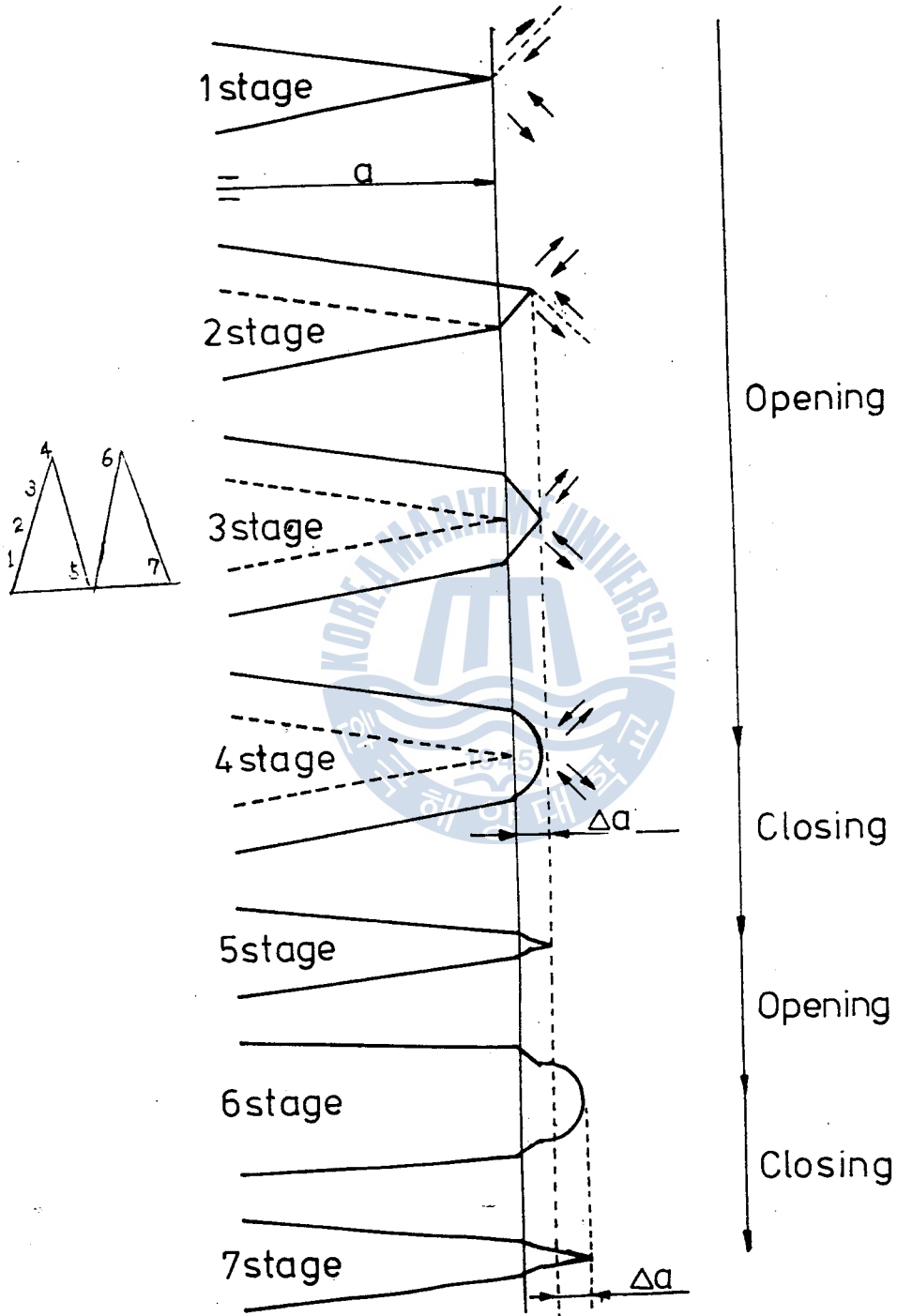


Fig.6 A model for fatigue crack growth

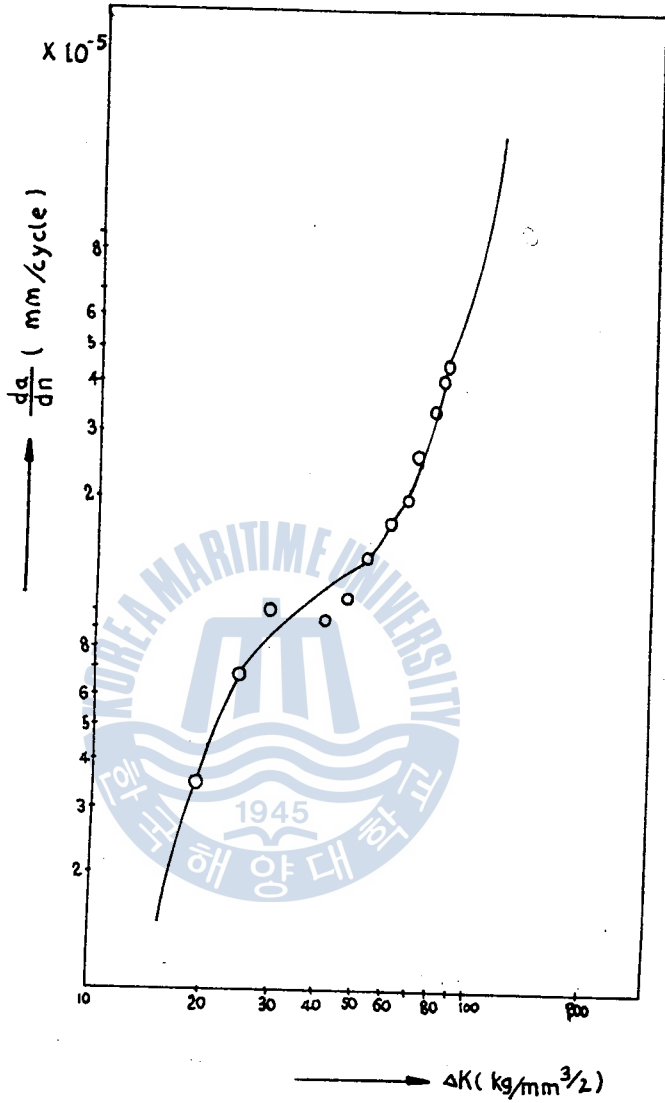


Fig.7 Relation between stress intensity factor and crack propagation rate

3. 2 모서리 균열의 形状变化

Fig.8은 6.6mm 두께의 5086-H116 알루미늄 합금材 試驗片이 Fig.5

그곳의 応力形態와 같이 反復荷重을 加하여 片側貫通노치 (Edged through - notch)로 부터 突進依推한 모서리 균열의 巨視的 破面 樣相인 비어치 마크 (Beach mark)를 보인다

이에 의하면, 모서리 균열 발생 초기에는 板表面에 나타난 균열길이와 두께 방향으로 나타난 균열길이는 거의 같게 나타나지만 균열길이가 成長함에 따라 균열길이가 短해 板表面에 나타난 균열길이가 현저하게 커지고, 寬음을 얻을 수 있다

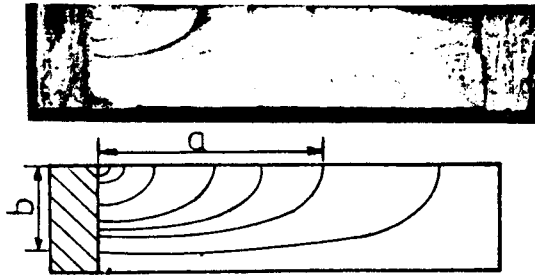
### 3-3. 모서리 균열의 過負荷에 의한 減速效果 (Retardation effect) 모형과

實際, 木構造物의 경우, 一定한 振幅의 反復荷重을 받는 경우는 드물고, 不規則한 크기의 反復荷重을 받는 것이 보통이다. 따라서, 균열 成長 挙動에 미치는 過負荷의 影響을 檢討 할 필요가 있다.

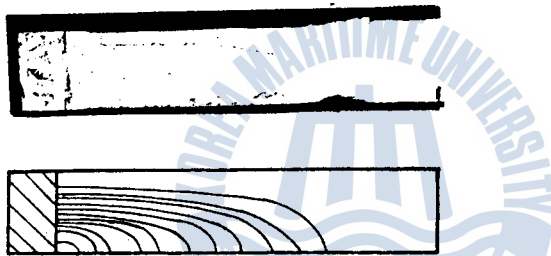
Fig. 9는 모서리 균열의 成長 挙動에 미치는 過負荷의 影響을 檢討하기 위하여 加한 경우와 一定한 振幅의 荷重을 加한 경우에 대해 균열 進展 길이  $a$ 와 反復回数  $N$ 과의 關係를 片數座標 (Graph)에 過負荷直後에 表示한 것이다.

이 結果에 의하면, 균열 進展 길이 速度는 현저히 느린 樣相을 보이고 있다.

이와 같이, 過負荷直後 均열 進展 速度가 느리게 나타나는 理由는 다음과 같이 考察된다.



5086-H116 Al-Alloy 8mmt



5086-H116 Al-Alloy 66mmt

Fig.8 Macrographs and beach marks of fracture surface

Fig.10 에 보이는 바와 같이 過負荷에 의하여 높은 塑性 領域이 形成되어 材料의 部分的인 變形이 일어나지만, 応力を 제거하면 塑性 領域은 彈性 材料에 收縮되다. 彈性 領域에서 생긴 應力先端 위의 塑性 領域 內에는 彈性 領域에 材料에 의해 壓縮 應力이 作用하고 그 結果 Fig.10 처럼 잔류 應力이 나타나다. 이 잔류 應력은 疲労 應力 傳播 機構인 閉塞 作用이 일어나지 못하도록 妨礙하고 作用한다.



그러므로, 荷重反復回數  $N$  가 증가하여 이 잔류応力을 극복해야만 다시  
 균열 成長이 일어나서, 원래의 균열 伝播速度로 돌아오게 되는 것으로 思料된다.  
 以上과 같은 実験系結果를 이용하면, 過負荷直後 均열進展速度  $(da/dn)_{retard}$  와  
 정상적인 均열進展速度  $(da/dn)_{normal}$  와의 사이에는 다음과 같은 관계가 成立한다

#5086-H116 For Retardation  $t = 8\text{mm}$

○ :  $S_{min} = 14.6 \text{ kg/mm}^2$   $S_{max} = 18 \text{ kg/mm}^2$

△ : Constant stress amplitude

↓ : Overload position

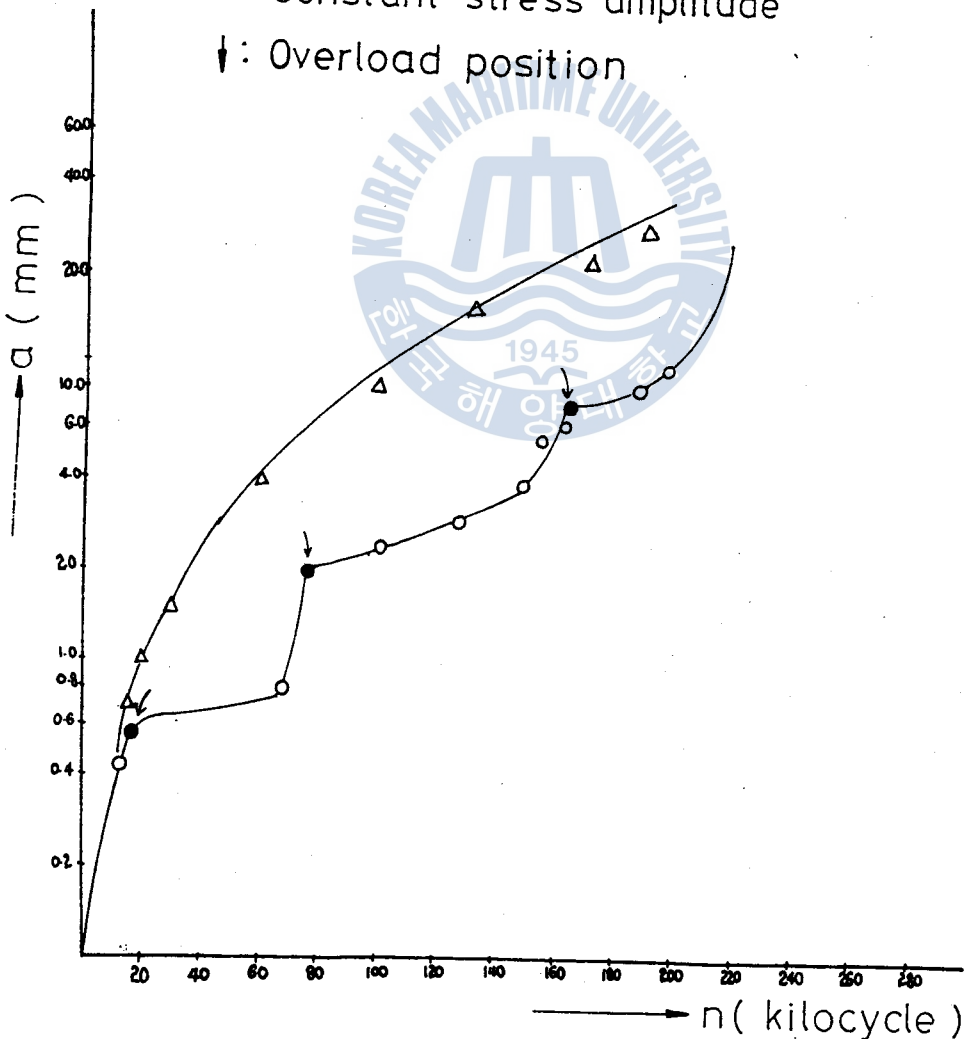
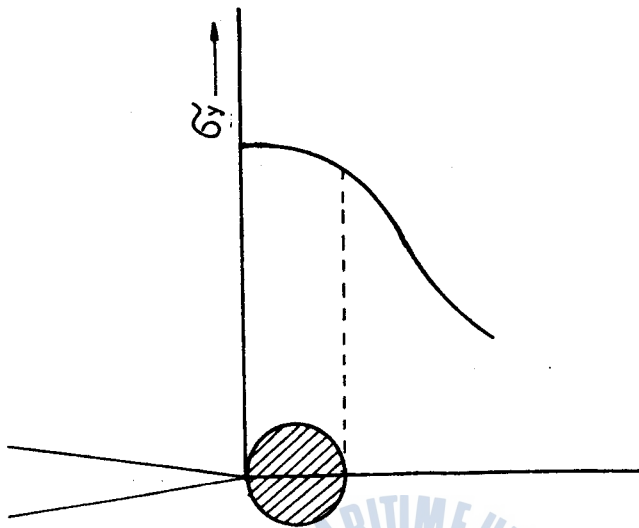


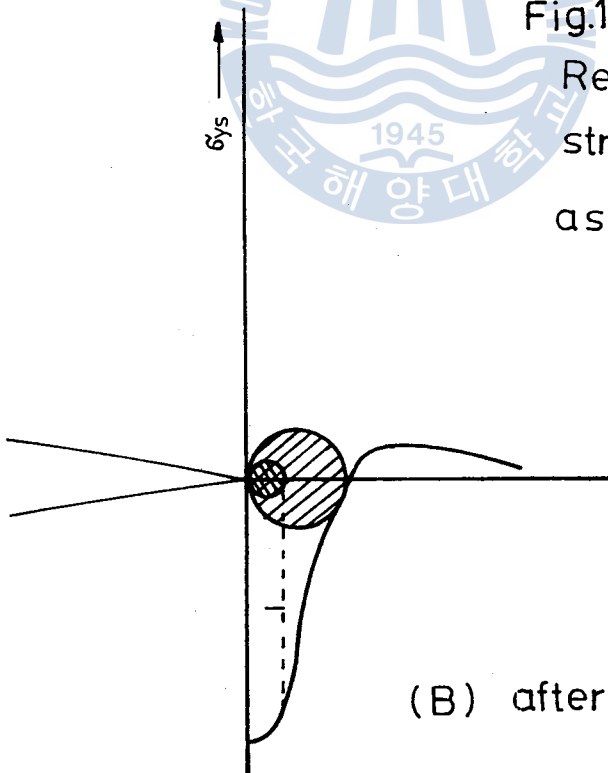
Fig.9 Retardation as a result of overload



(A) at overload

Fig.10

Residual compressive stresses at crack tip as a result of overload.



(B) after overload

過負荷가 있기 前까지의 全長을  $a_0$  과 같은 過負荷에 의해 生成된 塑性領域의 크기  $r_{p0}$  는 다음과 같이 나타낼 수 있다

$$r_{p0} = \frac{1}{2} \frac{\Delta S_0^2 a_0}{\sigma_{ys}^2} = \frac{1}{2\pi} \frac{\Delta k_0^2}{\sigma_{ys}^2} \quad \dots \dots \dots (3)$$

여기서:  $\Delta S_0$ : Overload Stress.

$\Delta k_0$ : Overload stress intensity factor

결함이 過負荷에 의해 生成된 塑性領域의 크기  $r_{pi}$  는

$$r_{pi} = \frac{1}{2} \frac{\Delta S_i^2 a_i}{\sigma_{ys}^2} = \frac{1}{2\pi} \frac{\Delta k_i^2}{\sigma_{ys}^2} \quad \dots \dots \dots (4)$$

여기서,  $\Delta S_i$ :  $i^{th}$  cycle's stress.

$\Delta k_i$ :  $i^{th}$  cycle's stress intensity factor 이다.

그러나,  $r_{pi}$  는 0에 있다

또한 減速變數 (Retardation Parameter) 를  $\phi$  라 하면,

$$\lambda = a_0 + r_{p0} - a_i = \lambda \text{ 를 취하면} \quad \dots \dots \dots (5)$$

$$\phi = \left( \frac{r_{pi}}{a_0 + r_{p0} - a_i} \right)^m = \left( \frac{r_{pi}}{\lambda} \right)^m \text{ 이고,} \quad \dots \dots \dots (6)$$

여기서, 指數  $m$  는 材料常數이다

따라서,  $a_i + r_{pi} < a_0 + r_{p0}$  일때,  $(da/dn)_{retard} = \phi (da/dn)_{normal} = \phi f(\Delta k)$  (7)

그리고,  $a_i + r_{pi} \geq a_0 + r_{p0}$  일때는, 全長은 過負荷의 領域을 넘어서서,

減速變數 (Retardation Parameter) 는  $\phi = 1$  이다

實驗結果를 이용하여, 各種의 方法에 의해 계수  $m$  값을 구하면,

過負荷에 의해 生成된 塑性領域의 크기가 커지면 減速係數  $\phi$  는

1보다 매우 작아져서 減速效果 (Retardation effect) 는 더 증가한다.

따라서, 本實驗에서 구한 자료에 의하여 材料常數  $m$  값은 식 (6) (7)

에 의하여 같이 計算적으로 求할 수 있다.

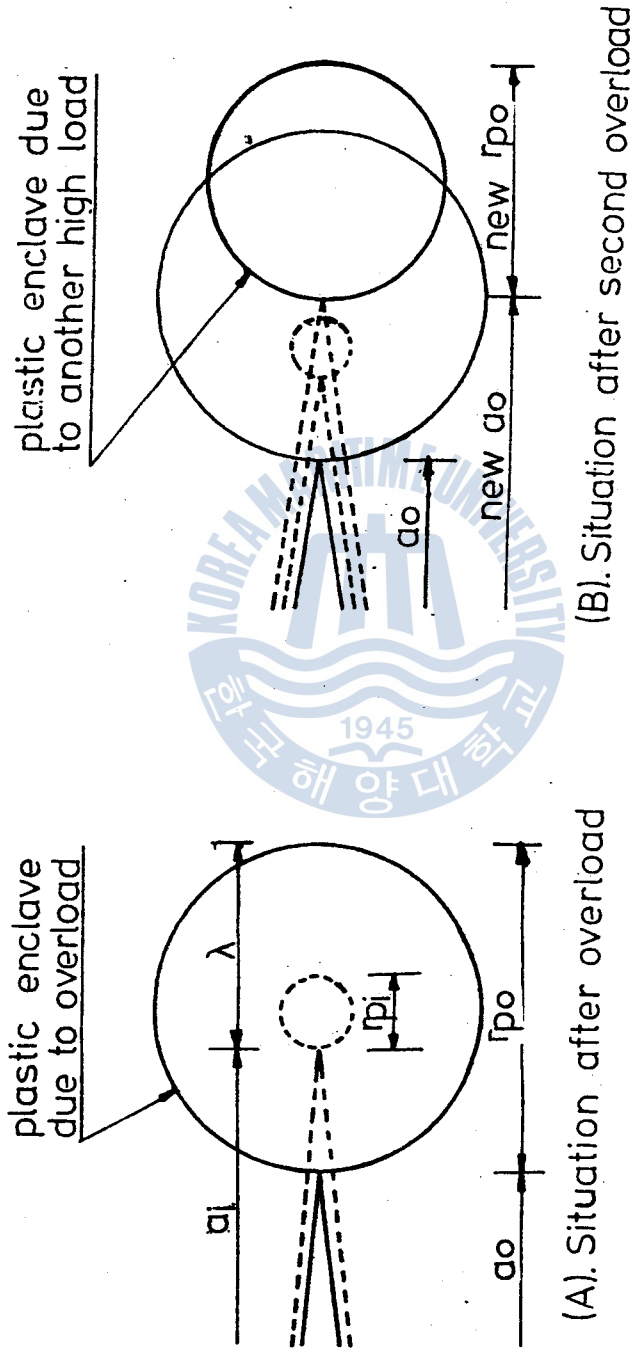


Fig.11 The model of Retardation

$$\phi = (d_0/d_m)_{\text{actual}} / (d_0/d_m)_{\text{normal}}$$

$$= 6.03 \times 10^{-5} / 9.99 \times 10^{-5} = 0.60337$$

$$\phi = (r_p/\lambda)^m \text{ 이다.}$$

$$r_{p0} = C \frac{\Delta S_0 a_0}{\sigma_y s^2} = \frac{1}{2} \frac{\Delta S^2 a}{\sigma_y s^2} \quad (\because \theta = 0 \text{ 이므로})$$

$$= \frac{1}{2} \times \frac{18.0^2 \times 6.75}{31.0^2} = 35.3$$

$$r_{pi} = C \frac{\Delta S_i a_i}{\sigma_y s^2} = \frac{1}{2} \frac{\Delta S_i^2 a_i}{\sigma_y s^2} = \frac{1}{2} \frac{14.6^2 \times 8.07}{31.0^2} = 21.74 \quad (\because \theta = 0 \text{ 이므로})$$

따라서 本 實驗에서 구한 자료에 의하여 材料常数 m 값을  
다음과 같이 계산적 방법에 의하여 구할 수 있다.

$$\lambda \text{ 는 } \lambda = a_0 + r_{p0} - a_i = 6.75 + 35.3 - 8.07 = 33.98$$

式 (b)에 따라

$$\phi = (r_p/\lambda)^m \text{ 兩對數를 취하면}$$

$$m = 1.87$$

이와 같이 材料常数 m 값을 材料이다. 各 實驗的으로 구할 수  
있다.

#### 4 結論

小形 高速 船舶의 外板材料로 使用되던 508-H116 알루미늄 합금板 試驗材를 같이 片則貫通 노치 (edged through notch)로 부터 發生 依據한 노치 欠損의 形狀變化와 依據特性, 그리고 過負荷에 의한 影響을 檢討한 結果 如下 같은 結論을 얻었다.

1. 노치 欠損의 欠損進路에 따른 欠損 初期에서 欠損 貫입과 貫입이 貫입, 欠損이 成長함에 따라 欠損 貫입이 더 깊어진다.

2. 過負荷의 影響으로 減速效果 (Retardation effect) 는 顯著하고

Retardation Parameter를 計算하는 材料常數  $m$  값은 1.87 이다



## 参考文献

1. ASM: Failure Analysis and Prevention, Metal Handbook, Vol. 10, ASM, Ohio, pp 332~372 (1975)
2. ASM: Fractography and Atlas of fractography, Metal Handbook, Vol. 9, ASM, Ohio, pp. 49~62, 161~280 (1975)
3. JWS; 鉄鋼溶接部の破面写真集, 黒木出版社, 大版, pp 398~403 (1975)
4. David Broek; Elementary Engineering Fracture Mechanics, Sijthoff & Noordhoff, Netherlands, pp. 80~86 (1978)
5. 金永植, 趙相明; 平面応力疲労荷重에 의한 鋼溶接部の 破面 변형 伝播特性, 大韓機械学会 論文集, Vol. 6, No. 3, pp. 232~238 (1982)
6. 金永植, 金英鍾, 平面応力疲労荷重에 의한 光學鏡合金属材料의 破面 변형 伝播挙動에 관한 研究, 大韓機械学会 學術大會 抄録集, 1983年度 春季 p105~108

